

RAPORT Z PRAC PAŃSTWOWEGO INSTYTUTU GEOLOGICZNEGO – PAŃSTWOWEGO INSTYTUTU BADAWCZEGO W REJONIE OLKUSKIM W ZWIĄZKU Z LIKWIDACJĄ KOPALŃ RUD CYNKU I OŁOWIU

Państwowy Instytut Geologiczny
Państwowy Instytut Badawczy

państwowa służba
geologiczna

pgi.gov.pl

Państwowy Instytut Geologiczny
Państwowy Instytut Badawczy
państwowa służba geologiczna

RAPORT Z PRAC PAŃSTWOWEGO INSTYTUTU GEOLOGICZNEGO – PAŃSTWOWEGO INSTYTUTU BADAWCZEGO W REJONIE OLKUSKIM W ZWIĄZKU Z LIKWIDACJĄ KOPALŃ RUD CYNKU I OŁOWIU

nr 10/2026

Okres objęty raportem: **październik 2026**

Raport akceptował:

Dyrektor Państwowego Instytutu Geologicznego-

Państwowego Instytutu Badawczego

prof. dr hab. Krzysztof Szamałek

listopad 2026 r.

Raport PIG-PIB nr 10/2026

Zespół autorski:

Agnieszka Bracławska, Artur Dyczko, Małgorzata Hołowińska, Zbigniew Kaczorowski, Jarosław Kos, Anna Kuczyńska, Piotr Liszka, Marcin Pasternak, Andrzej Piotrowski, Lidia Razowska-Jaworek, Anna Stachura, Grzegorz Suszka, Jarosław Szulik, Tomasz Wojciechowski, Michał Wojtarowicz, Małgorzata Woźnicka, Marcin Zembal

pgi.gov.pl

ul. Rakowiecka 4, 00-975 Warszawa
tel. (+48) 22 45 92 000, biuro@pgi.gov.pl

Sąd Rejonowy dla m. st. Warszawy w Warszawie
XIII Wydział Gospodarczy KRS, Nr 0000122099
NIP 525-000-80-40

Spis treści:

1 **Wstęp** ... 8
1.1 Cel i zastosowanie raportu ... 8
2 **Sytuacja hydrologiczna** ... 9
2.1 Stan wód w wybranych ciekach ... 9
2.1.1 Stacje IMGW ... 9
2.1.2 Pomiary hydrologiczne PIG-PIB i ZGH „Bolesław” ... 11
2.1.3 Zalewiska ... 11
3 **Sytuacja hydrogeologiczna** ... 17
3.1 Triasowe piętro wodonośne ... 19
4 **Jakość wód** ... 25
4.1 Wyniki pomiarów terenowych ... 25
5 **Zagrożenia hydrogeologiczne** ... 28
5.1 Interwencje związane z podtopieniami ... 28
5.2 Samowypływy i zagrożenia infrastruktury ... 28
5.3 Wsparcie administracji samorządowej ... 29
6 **Zagrożenia związane z zapadliskami** ... 29
7 **Działania związane z rozszerzeniem zakresu działań w rejonie olkuskim** ... 33
8 **Podsumowanie** ... 33

Spis tabel:

Tab. 1. Przepływy wody w Białej Przemszy w październiku 2026 r. (źródło: IMGW). 9
Tab. 2. Rzędne zwierciadła wody w zalewiskach oraz ich powierzchnie wyliczone z NMT (lokalizacja zalewisk przedstawiona na Ryc. 3). Stan na 4.11.2026 r. Lokalizacja zalewisk jest przedstawiona na Ryc. 3 (opracowanie własne PIG-PIB). 13
Tab. 3. Wyniki pomiarów hydrogeologicznych w punktach obserwacyjnych w rejonie olkuskim, stan na koniec października 2026 r (opracowanie własne PIG-PIB). 18
Tab. 4. Wyniki pomiarów przewodności elektrolitycznej właściwej (PEW) w wybranych punktach obserwacyjnych w rejonie olkuskim, stan na koniec października 2026 r. (lokalizacja przedstawiona na Ryc. 12) 25

Spis rycin:

Ryc. 1. Wyniki pomiarów przepływów na rzece Biała Przemsza na stacji hydrologicznej w Sławkowie w październiku 2026 r. (źródło: IMGW). 10
Ryc. 2. Suma opadów dobowych na stacji meteorologicznej IMGW w Troksie w październiku 2026 r. (źródło: IMGW). 11
Ryc. 3. Mapa zalewisk w rejonie olkuskim (na podstawie pomiarów ZGH „Bolesław") stan na 4.11.2026 r. Strzałkami oznaczono zmianę położenia zwierciadła wody w stosunku do poziomu raportowane w poprzednim Raporcie (opracowanie własne PIG-PIB). 12
Ryc. 4. Zmiana poziomu wody w zalewiskach od listopada 2025 r do października 2026 r. (lokalizacja zalewisk przedstawiona na Ryc. 3) (opracowanie własne PIG-PIB). 14
Ryc. 5. Lokalizacja punktów monitoringu wód podziemnych w rejonie olkuskim (opracowanie własne PIG-PIB). 17
Ryc. 6. Zasięg występowania głównych pięter wodonośnych. (na podstawie MGP 1:500 000, PIG-PIB 2024 r., opracowanie własne PIG-PIB). 19
Ryc. 7. Rozkład rzędnych zwierciadła wód podziemnych w triasowym (w zasięgu występowania) i czwartorzędowym piętrze wodonośnym, stan na październik 2026 r (opracowanie własne PIG-PIB). 20
Ryc. 8. Zmiana położenia zwierciadła wody w piętrze triasowym w okresie od grudnia 2025 r. do października 2026 r (opracowanie własne PIG-PIB). 21
Ryc. 9. Wykresy zmian położenia zwierciadła wody w wybranych punktach monitoringowych (opracowanie własne PIG-PIB). 23
Ryc. 10. Wykresy zmian położenia zwierciadła wody w szybie Dąbrówka oraz Chrobry (opracowanie własne PIG-PIB). 24
Ryc. 11. Porównanie wartości PEW terenowego z września i października 2026 r. (opracowanie własne PIG-PIB) 27
Ryc. 12. Mapa rozkładu przewodności elektrolitycznej właściwej (PEW) w obszarze badań (październik 2026 r.) (opracowanie własne PIG-PIB). 27
Ryc. 13. Lokalizacja samowypływów w otworach i źródłach oraz zamkniętych dróg i nowych przepustów (opracowanie własne PIG-PIB). 28
Ryc. 14. Lokalizacja zapadlisk na podkładzie mapy topograficznej oraz numerycznego modelu terenu z 2025 r. 30

Ryc. 15. Mapa archiwalnej eksploatacji na podkładzie numerycznego modelu terenu z 2026 r. 32

Spis fotografii:

Fot. 1. Zalewisko Dąbrówka (fot. PIG-PIB, 5.11.2026 r.) 15
Fot. 2. Zalewisko Hutki (fot. PIG-PIB, 5.11.2026 r.) 15
Fot. 3. Zalewisko Obwodnica (fot. PIG-PIB, 5.11.2026 r.) 16
Fot. 4. Zalewisko Karier (fot. PIG-PIB, 5.11.2026 r.) 16
Fot. 5. Zapadlisko o numerze 1852 31

Streszczenie w języku niespecjalistycznym

Raport przedstawia aktualną sytuację hydrogeologiczną i hydrologiczną w rejonie olkuskim odnotowaną w październiku 2026 r. Zawiera on również informacje dotyczące zagrożeń związanych z powstawaniem zapadlisk w rejonie olkuskim i Trzebini.

Na podstawie analizy wyników przeprowadzonych badań i pomiarów określono aktualne rzędne zwierciadła wód podziemnych oraz poziomy wody w zalewiskach. Zmiany położenia zwierciadła wody są zróżnicowane zarówno przestrzennie, jak również w zakresie i kierunku obserwowanych zmian. W większości punktów odnotowano spadek poziomu wód w ciągu ostatnich miesięcy. W centralnej części obszaru, tj. w miejscowości Olkusz i Bolesław obserwowany jest utrzymujący się trend wzrostowy położenia zwierciadła wód podziemnych. W październiku br. największy wznios zwierciadła wód podziemnych, będący wynikiem wypełniania się leja depresji, odnotowano w punkcie pomiarowym Olkusz KP-13 (0,11 m), zlokalizowanym ok. 1,6 km na południowy zachód od szybu Chrobry zlikwidowanej kopalni „Olkusz-Pomorzany".

Obszarami najbardziej zagrożonymi podtopieniami pozostają rejony Lasek, Bolesławia oraz Bukowna. Na skutek zrzutu wód do kanału Sztolni Ponikowskiej z zalewisk zlokalizowanych w północnej części rejonu poziom wód w powstałych zalewiskach ustabilizował się. Działania te zwiększają bezpieczeństwo dla grobli otaczających zalewiska oraz ograniczają ryzyko podtopień w bezpośrednim sąsiedztwie zbiorników, jednak nie wpływają na ilość stale dopływających wód podziemnych.

Słaba jakość wód podziemnych jest w dalszym ciągu obserwowana w samowypływach pojawiających się w północno – zachodniej (Laski) i południowo - zachodniej (Sztolnia Czartoryjska) części omawianego rejonu.

W październiku 2026 roku w rejonie olkuskim PIG-PIB otrzymał zgłoszenie od Wójta Gminy Bolesław z dnia 16.10.2026 r. dotyczące powstania dwóch zapadlisk przy ulicy Kluczewskiej w Bolesławiu. Jedno z nich zostało zinwentaryzowane w 2023 r. i ulega ciągłej propagacji, drugie nie było wcześniej inwentaryzowane. Oba zapadliska znajdują się na obszarze historycznej eksploatacji i związane są z płytkimi podziemnymi wyrobiskami. W raportowanym okresie nie odnotowano żadnych zgłoszeń dotyczących zapadlisk w rejonie Trzebini.

1 Wstęp

Niniejszy raport przedstawia sytuację hydrologiczną i hydrogeologiczną w rejonie olkuskim odnotowaną w październiku 2026 r. oraz informację o zagrożeniach związanych z zapadliskami w rejonie olkuskim i Trzebini. Raport został opracowany na podstawie prac wykonanych w ramach realizacji zadań państwowej służby geologicznej (PSG) określonych w przepisach ustawy Prawo wodne[1] oraz Prawo geologiczne i górnicze[2]. Dodatkowym źródłem informacji były zgłoszenia ze strony administracji samorządowej, lokalnej społeczności lub innych podmiotów, na podstawie których PSG podejmowała działania o charakterze doradczym lub interwencyjnym.

Państwowa służba geologiczna prowadzi w omawianym obszarze comiesięczne pomiary stanów zwierciadła wód podziemnych w punktach badawczych, kwartalne badania składu chemicznego wód podziemnych i powierzchniowych, jak również kwartalne pomiary natężenia przepływu wód powierzchniowych (naprzemiennie z ZGH „Bolesław"). Ponadto w ramach realizacji zadania PSG pn.: *Zapadliska – etap I – studium wykonalności* PIG-PIB prowadzi działania związane z inwentaryzacją zapadlisk.

W raporcie przedstawiono również ogólnodostępne dane publikowane przez IMGW (stany wody oraz przepływy wód powierzchniowych i wielkość opadów) oraz ZGH „Bolesław" (głębokość do zwierciadła wody w szybach i rzędne zwierciadła wody w powstałych zalewiskach), jak również dane pozyskane od SRK S.A.[3] na temat działań prowadzonych w rejonie Trzebini.

1.1 Cel i zastosowanie raportu

Raport stanowi comiesięczną aktualizację informacji o sytuacji hydrogeologiczno-hydrologicznej w rejonie olkuskim, przygotowywaną na potrzeby prac *Międzyresortowego Zespołu do spraw usuwania skutków i przeciwdziałania zagrożeniom związanym z występowaniem zapadlisk i podtopień na terenie gminy Trzebinia oraz w rejonie olkuskim.*

[1] Ustawa z dnia 20 lipca 2017 r. – Prawo wodne (Dz. U. 2026 poz. 1335,1358)
[2] Ustawa z dnia 9 czerwca 2011 r. – Prawo geologiczne i górnicze (Dz. U. 2026 poz. 69)
[3] Raporty Spółki Restrukturyzacji Kopalń S.A. dotyczące działań SRK w zakresie zapobiegania powstawania deformacji nieciągłych spowodowanych płytka eksploatacją górniczą byłej KWK „Siersza"

Zebrane wyniki mają charakter operacyjny i służą bieżącej ocenie trendów zmian, wczesnemu identyfikowaniu sygnałów ryzyka oraz wsparciu decyzji prewencyjnych i interwencyjnych podejmowanych przez administrację samorządową oraz służby zarządzania kryzysowego.

Interpretacja danych uwzględnia naturalną zmienność warunków hydrogeologicznych, złożoność układu przepływu wód podziemnych oraz niepewności wynikające z ograniczeń w zakresie danych historycznych.

Niniejszy raport zawiera porównanie do danych i analiz zawartych w poprzednim raporcie, opisującym stan na wrzesień 2026 r. W kolejnych okresach zakres obserwacji i analiz będzie dostosowywany do rozwoju sytuacji oraz zgłaszanych potrzeb informacyjnych interesariuszy.

2 Sytuacja hydrologiczna

2.1 Stan wód w wybranych ciekach

2.1.1 Stacje IMGW

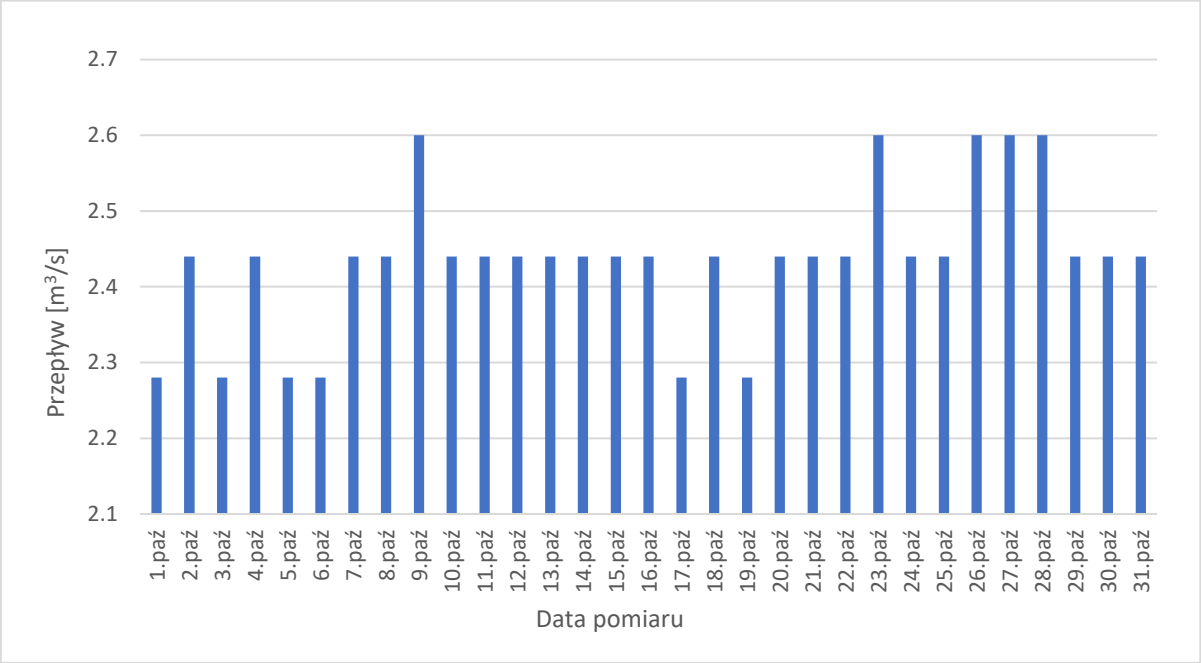
Na terenie objętym badaniami zlokalizowana jest jedna stacja hydrologiczna IMGW, na której prowadzone są przez państwową służbę hydrologiczno-meteorologiczną (PSHM) pomiary stanu wód powierzchniowych. Stacja hydrologiczna nr 150190250 zlokalizowana jest na rzece Biała Przemsza w Sławkowie. Codzienne stany wody i przepływy wód dostępne są na stronie internetowej IMGW[4]. Przepływy wody w Białej Przemszy w październiku 2026 r. przedstawiono w Tab. 1 oraz na Ryc. 1.

Tab. 1. Przepływy wody w Białej Przemszy w październiku 2026 r. (źródło: IMGW).

Przepływ minimalny [m^3/s]	Przepływ maksymalny [m^3/s]	Przepływ średni [m^3/s]
2,28	2,60	2,43

W porównaniu do danych pomiarowych z poprzedniego miesiąca, w październiku br. odnotowano takie same wartości przepływów minimalnego i maksymalnego. Wartość przepływu średniego jest wyższa niż w poprzednim miesiącu o 0,03 m^3/s.

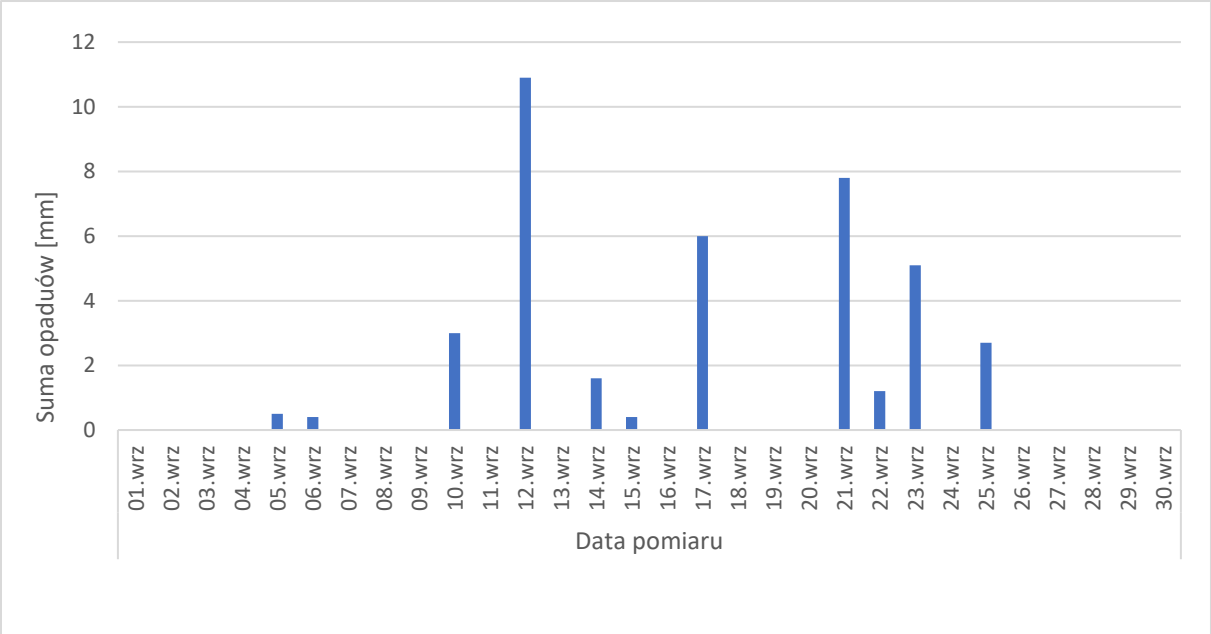
[4] https://hydro.imgw.pl/#/station/hydro/150190250?h=73



Ryc. 1. Wyniki pomiarów przepływów na rzece Biała Przemsza na stacji hydrologicznej w Sławkowie w październiku 2026 r. (źródło: IMGW).

W obszarze objętym badaniami, w miejscowości Troks, zlokalizowana jest jedna stacja meteorologiczna IMGW, w której prowadzone są przez państwową służbę hydrologiczno-meteorologiczną (PSHM) pomiary wysokości opadu. Codzienne wartości opadu dostępne są na stronie internetowej IMGW[5]. Suma dobowa opadów została przedstawiona na Ryc. 2.

[5] https://hydro.imgw.pl/#/station/meteo/250190850?h=73



Ryc. 2. Suma opadów dobowych na stacji meteorologicznej IMGW w Troksie w październiku 2026 r. (źródło: IMGW).

Maksymalny dobowy opad w wysokości 13,8 mm odnotowano w dniu 23 października br. Suma opadów w październiku 2026 r. wyniosła 32 mm i była niższa niż w miesiącu poprzednim. Stacja pomiarowa w Troksie prowadzi obserwacje opadów od początku 2023 r. Sumy opadów w październiku w latach 2023–2025 wyniosły odpowiednio: 98,8 mm, 50,9 mm oraz 74,8 mm. Wartość odnotowana w październiku 2026 r. jest wyraźnie niższa niż w latach poprzednich.

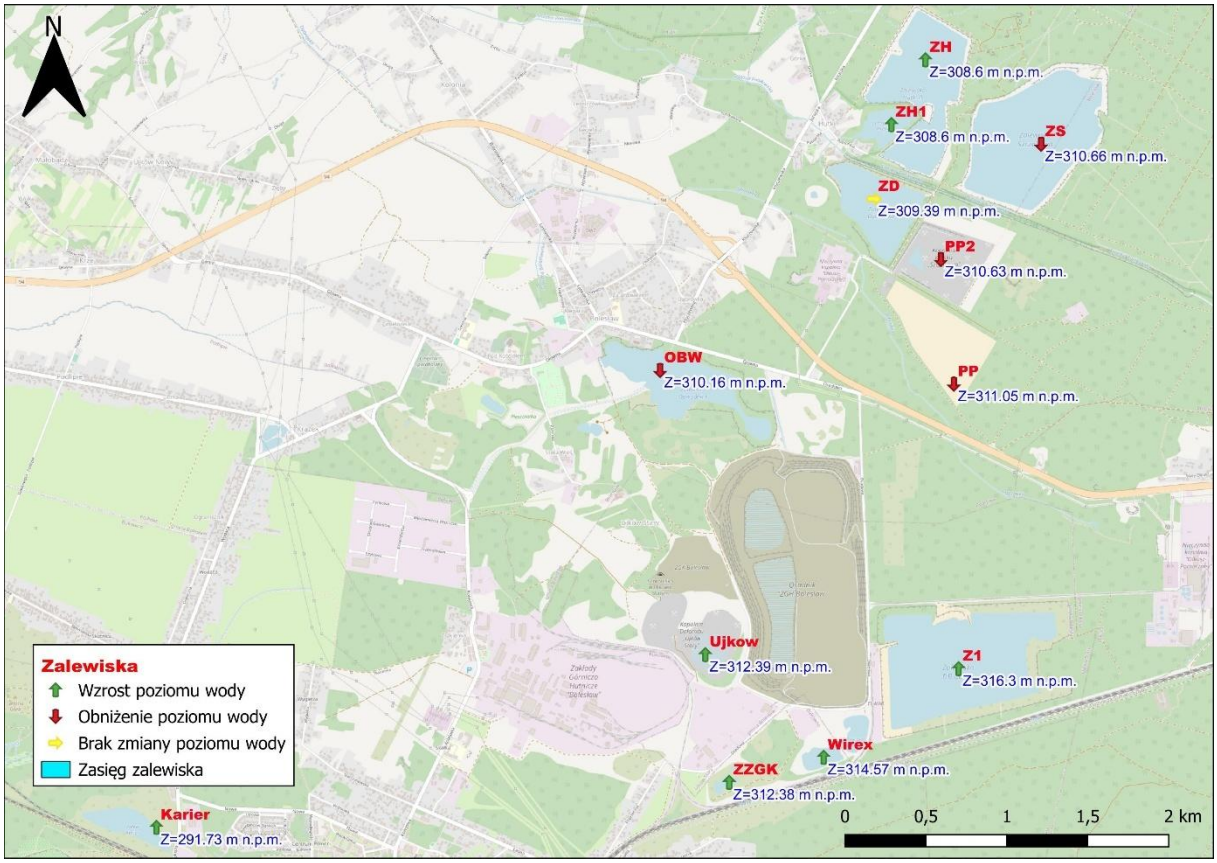
2.1.2 Pomiary hydrologiczne PIG-PIB i ZGH „Bolesław”

Pomiary przepływu w rzekach prowadzone są w cyklu kwartalnym. W okresie sprawozdawczym, tj. od 1 do 31 października br., zarówno PIG-PIB jak i ZGH „Bolesław” nie wykonywały pomiarów natężenia przepływu wód powierzchniowych w rzekach zlewni Białej Przemszy. Kolejne pomiary hydrologiczne zaplanowano na listopad br.

2.1.3 Zalewiska

W wyniku zaprzestania w grudniu 2021 r. odwadniania wyrobisk górniczych przez ZGH „Bolesław” następuje proces zatapiania kopalni rud cynku i ołowiu oraz wypełniania się leja depresji, w następstwie czego w niektórych miejscach wody podziemne pojawiają się na powierzchni terenu tworząc zalewiska. ZGH „Bolesław” prowadzi

monitoring poziomu wody w zalewiskach i publikuje je na swojej stronie internetowej[6]. Na Ryc. 3. przedstawiono mapy zalewisk w rejonie olkuskim według stanu na dzień 4.11.2026 r.[7] W Tab. 2. przedstawiono rzędne zalewisk oraz ich powierzchnie wyliczone na podstawie numerycznego modelu terenu (NMT).



Ryc. 3. Mapa zalewisk w rejonie olkuskim (na podstawie pomiarów ZGH „Bolesław") stan na 4.11.2026 r. Strzałkami oznaczono zmianę położenia zwierciadła wody w stosunku do poziomu raportowane w poprzednim Raporcie[8] (opracowanie własne PIG-PIB).

Przyrosty rzędnej zwierciadła wody w zalewiskach na przestrzeni ostatniego miesiąca zaobserwowano w zalewiskach zlokalizowanych w południowej części obszaru oraz w dwóch zalewiskach w rejonie Hutek. Wynosiły one od 0,08 m w zalewiskach Hutki (ZH), Hutki 1 (ZH1) i Ujków (pomimo swobodnego odpływu wody z zalewisk ZD, ZH i ZH1) do 0,17 m w zalewisku Karier. W zalewiskach północnych, na wschód od Hutek zaobserwowano niewielkie spadki poziomu wody. Największy spadek zaobserwowano w zalewisku Pole Pomorzany 2 (PP2) –

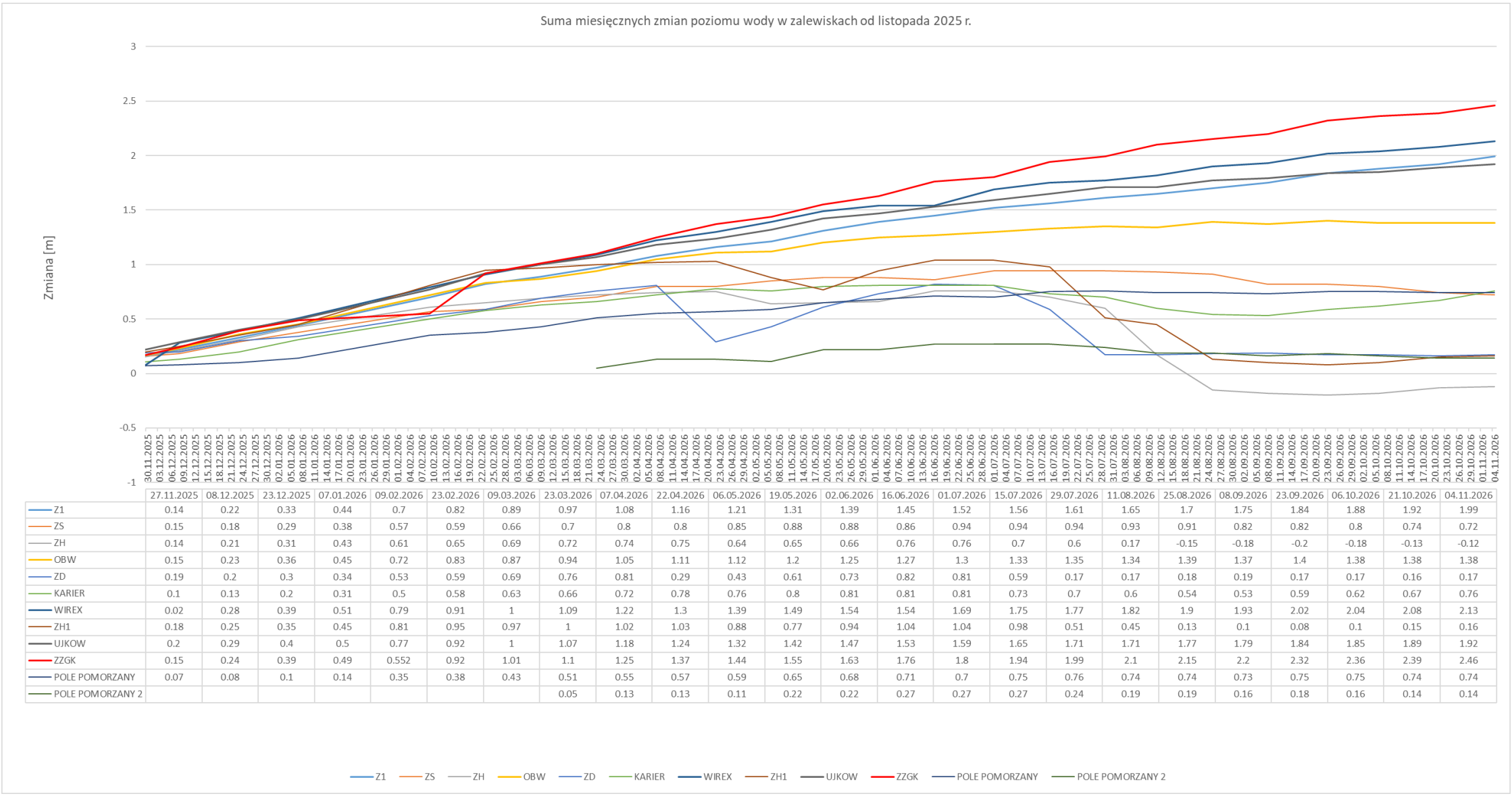
[6] https://zghboleslaw.pl/pl/aktualnosci/likwidacja-kopalni/poziom-zwierciadla-wody-w-szybach-i-zalewiskach
[7] https://www.zghboleslaw.pl/pl/aktualnosci/likwidacja-kopalni
[8] Raport z prac Państwowego Instytutu Geologicznego – Państwowego Instytutu Badawczego w rejonie olkuskim w związku z likwidacją kopalń rud cynku i ołowiu

0,04 m. W zalewiskach Pole Pomorzany (PP) i Szczakowa (ZS) zmiana poziomu wody miała zakres do kilku centymetrów. W zalewisku Dąbrówka (ZD) brak jest istotnych zmian położenia zwierciadła wody. Wskazuje to na zrównoważenie się dopływu wód podziemnych do zalewiska z odpływem przez wybudowane przepusty. W zalewisku Obwodnica (OBW) zanotowano obniżenie poziomu wody o 0,02 m.

Informacje na temat zmiany położenia zwierciadła wody w zalewiskach w okresie od listopada 2025 r. przedstawiono na Ryc. 4. W okresie ostatniego roku obserwowany jest stały przyrost poziomu wody w zalewiskach położonych w południowej części omawianego rejonu: ZZGK, Wirex, Ujków i Z1. Sumarycznie wynosi on od 1,92 m (Ujków) do 2,32 m (ZZGK). W zalewisku Hutki (ZH) aktualna rzędna lustra wody jest niższa o 0,12 m niż w listopadzie 2025 r. Wyraźnie zaznacza się wpływ grawitacyjnego odprowadzania wód z zalewisk północnych (ZD, ZH, ZH1) do kanału Sztolni Ponikowskiej w ogólnym obrazie zmian poziomu wód w zalewiskach.

Tab. 2. Rzędne zwierciadła wody w zalewiskach oraz ich powierzchnie wyliczone z NMT (lokalizacja zalewisk przedstawiona na Ryc. 3). Stan na 4.11.2026 r. Lokalizacja zalewisk jest przedstawiona na Ryc. 3 (opracowanie własne PIG-PIB).

	04.11.2026		
Nazwa punktu pomiarowego	Rzędna zwierciadła wody [m n.p.m.]	Powierzchnia zalewiska [m^2]	Zmiana położenia zwierciadła wody w odniesieniu do pomiarów z poprzedniego raportu [m]
Z1	316.3	611387.38	0.15
ZS	310.66	507695.67	-0.1
ZH	308.6	319362.01	0.08
OBW	310.16	329192.52	-0.02
ZD	309.39	195748.25	0
KARIER	291.73	89764.19	0.17
WIREX	314.57	73467.76	0.11
ZH1	308.6	60711.89	0.08
UJKOW	312.39	44005.13	0.08
ZZGK	312.38	45610.99	0.14
PP	311.05	99272.78	-0.01
PP2	310.63	79663.62	-0.04



	27.11.2025	08.12.2025	23.12.2025	07.01.2026	09.02.2026	23.02.2026	09.03.2026	23.03.2026	07.04.2026	22.04.2026	06.05.2026	19.05.2026	02.06.2026	16.06.2026	01.07.2026	15.07.2026	29.07.2026	11.08.2026	25.08.2026	08.09.2026	23.09.2026	06.10.2026	21.10.2026	04.11.2026
Z1	0.14	0.22	0.33	0.44	0.7	0.82	0.89	0.97	1.08	1.16	1.21	1.31	1.39	1.45	1.52	1.56	1.61	1.65	1.7	1.75	1.84	1.88	1.92	1.99
ZS	0.15	0.18	0.29	0.38	0.57	0.59	0.66	0.7	0.8	0.8	0.85	0.88	0.88	0.86	0.94	0.94	0.94	0.93	0.91	0.82	0.82	0.8	0.74	0.72
ZH	0.14	0.21	0.31	0.43	0.61	0.65	0.69	0.72	0.74	0.75	0.64	0.65	0.66	0.76	0.76	0.7	0.6	0.17	-0.15	-0.18	-0.2	-0.18	-0.13	-0.12
OBW	0.15	0.23	0.36	0.45	0.72	0.83	0.87	0.94	1.05	1.11	1.12	1.2	1.25	1.27	1.3	1.33	1.35	1.34	1.39	1.37	1.4	1.38	1.38	1.38
ZD	0.19	0.2	0.3	0.34	0.53	0.59	0.69	0.76	0.81	0.29	0.43	0.61	0.73	0.82	0.81	0.59	0.17	0.17	0.18	0.19	0.17	0.17	0.16	0.17
KARIER	0.1	0.13	0.2	0.31	0.5	0.58	0.63	0.66	0.72	0.78	0.76	0.8	0.81	0.81	0.81	0.73	0.7	0.6	0.54	0.53	0.59	0.62	0.67	0.76
WIREX	0.02	0.28	0.39	0.51	0.79	0.91	1	1.09	1.22	1.3	1.39	1.49	1.54	1.54	1.69	1.75	1.77	1.82	1.9	1.93	2.02	2.04	2.08	2.13
ZH1	0.18	0.25	0.35	0.45	0.81	0.95	0.97	1	1.02	1.03	0.88	0.77	0.94	1.04	1.04	0.98	0.51	0.45	0.13	0.1	0.08	0.1	0.15	0.16
UJKOW	0.2	0.29	0.4	0.5	0.77	0.92	1	1.07	1.18	1.24	1.32	1.42	1.47	1.53	1.59	1.65	1.71	1.71	1.77	1.79	1.84	1.85	1.89	1.92
ZZGK	0.15	0.24	0.39	0.49	0.552	0.92	1.01	1.1	1.25	1.37	1.44	1.55	1.63	1.76	1.8	1.94	1.99	2.1	2.15	2.2	2.32	2.36	2.39	2.46
POLE POMORZANY	0.07	0.08	0.1	0.14	0.35	0.38	0.43	0.51	0.55	0.57	0.59	0.65	0.68	0.71	0.7	0.75	0.76	0.74	0.74	0.73	0.75	0.75	0.74	0.74
POLE POMORZANY 2								0.05	0.13	0.13	0.11	0.22	0.22	0.27	0.27	0.27	0.24	0.19	0.19	0.16	0.18	0.16	0.14	0.14

Ryc. 4. Zmiana poziomu wody w zalewiskach od listopada 2025 r do października 2026 r. (lokalizacja zalewisk przedstawiona na Ryc. 3) (opracowanie własne PIG-PIB).



Fot. 1. Zalewisko Dąbrówka (fot. PIG-PIB, 5.11.2026 r.)



Fot. 2. Zalewisko Hutki (fot. PIG-PIB, 5.11.2026 r.)



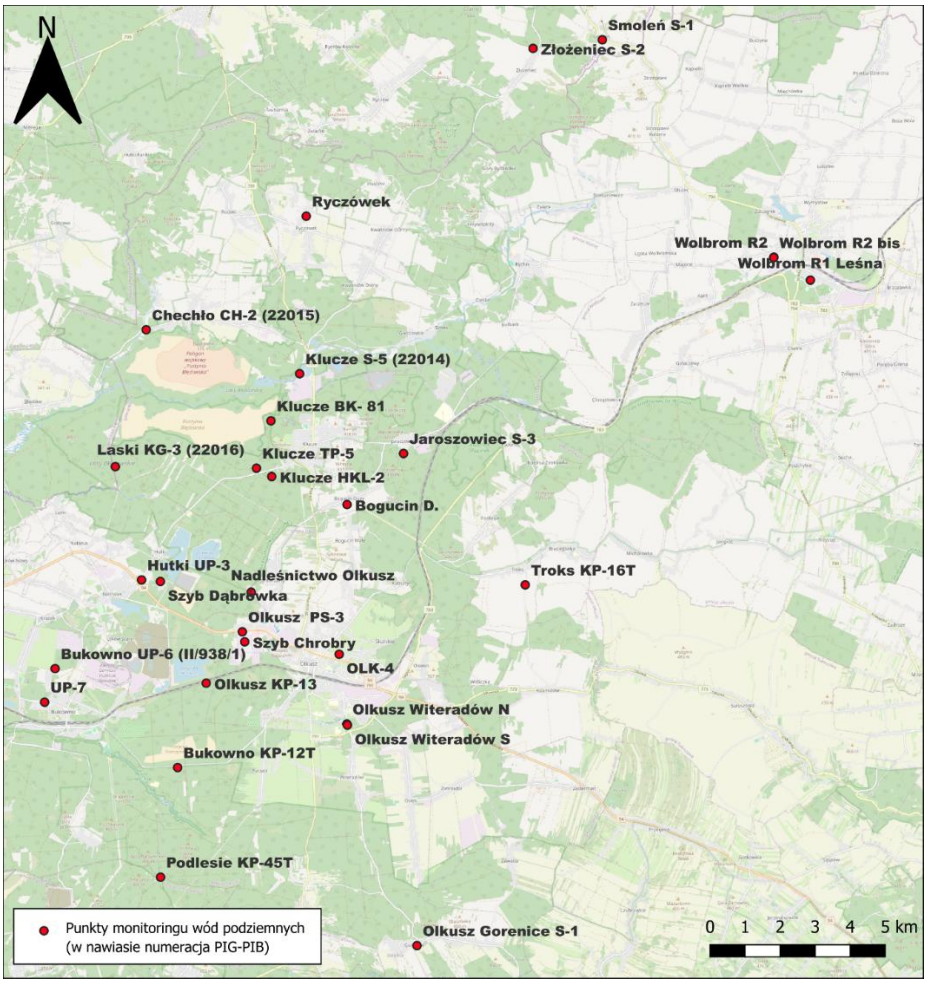
Fot. 3. Zalewisko Obwodnica (fot. PIG-PIB, 5.11.2026 r.)



Fot. 4. Zalewisko Karier (fot. PIG-PIB, 5.11.2026 r.)

3 Sytuacja hydrogeologiczna

Badania monitoringowe stanu zwierciadła wód podziemnych w obszarze olkuskim prowadzone są w 29 punktach pomiarowych należących do kilku sieci pomiarowych (sieć obserwacyjna PIG-PIB, sieć ZGH „Bolesław", lokalne ujęcia wodociągowe). Lokalizację punktów pomiarowych obsługiwanych przez PIG-PIB przedstawiono na Ryc. 5. Monitorowane są poziomy w wodonośnym piętrze triasu i jury. Obecnie brak punktów obserwacyjnych w czwartorzędowym piętrze wodonośnym. Wyniki pomiarów przedstawiono w Tab. 3. Równolegle z PIG-PIB, pomiary stanu zwierciadła wód podziemnych w otworach badawczych własnej sieci pomiarowej prowadzi także ZGH „Bolesław", publikując wyniki pomiarów (głębokości i rzędne zwierciadła w szybie Chrobry i Dąbrówka, pomiary w otworach geotechnicznych w centralnej części Bolesławia)[9].



Ryc. 5. Lokalizacja punktów monitoringu wód podziemnych w rejonie olkuskim (opracowanie własne PIG-PIB).

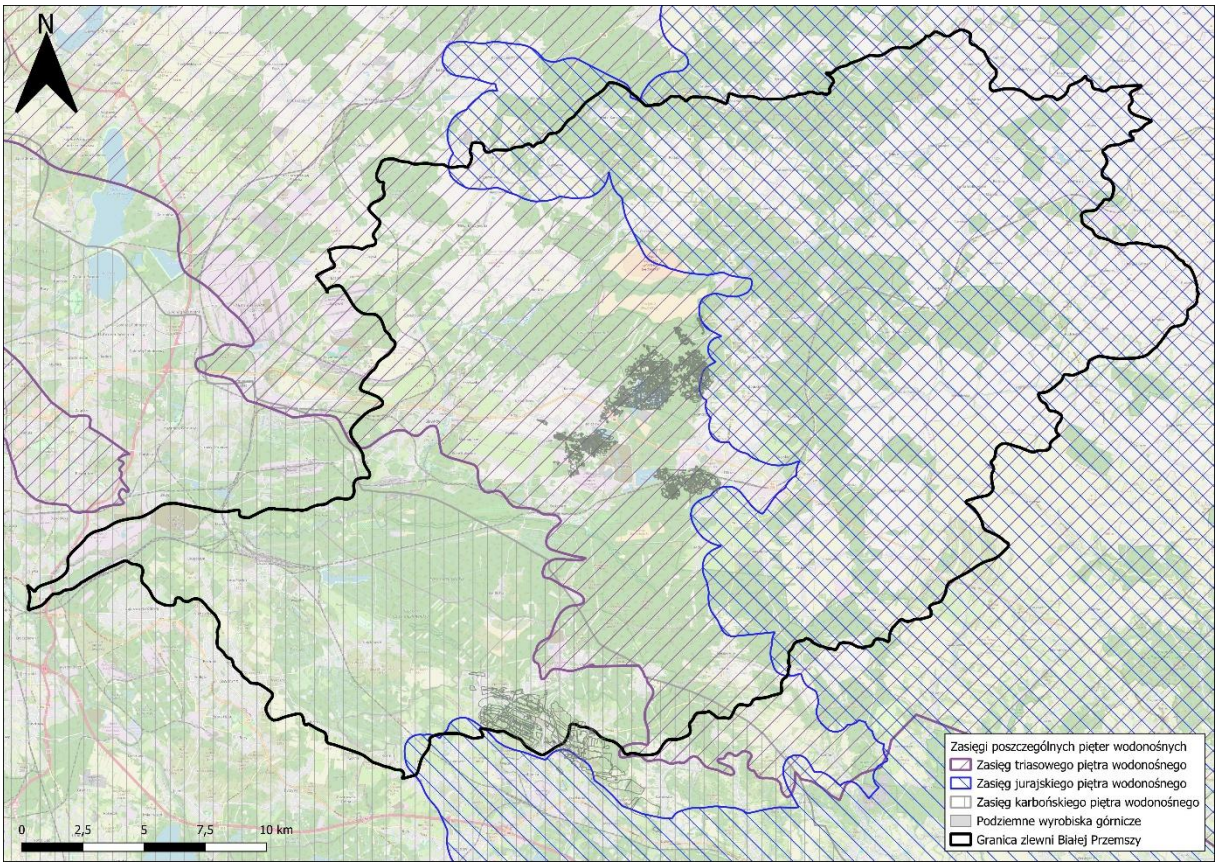
[9] https://zghboleslaw.pl/pl/aktualnosci/likwidacja-kopalni/poziom-zwierciadla-wody-w-szybach-i-zalewiskach

Tab. 3. Wyniki pomiarów hydrogeologicznych w punktach obserwacyjnych w rejonie olkuskim, stan na koniec października 2026 r (opracowanie własne PIG-PIB).

L.p.	Nazwa punktu monitoringowego	Rodzaj sieci	Eksploatacja	Ujęty poziom wodonośny	Rzędna zwierciadła wody [m n.p.m.]	Głębokość do zw. wody mierzona od kryzy [m]	Data pomiaru	Zmiana położenia zwierciadła wody w odniesieniu do pomiarów sprzed miesiąca [m]
1	Bogucin D.	ujęcie wodociągowe	Nie	T	311.08	76.95	27.10.2026	-0.10
2	Bukowno KP-12T	ZGH Bolesław	Nie	T	316.04	25.90	28.10.2026	0.04
3	Bukowno UP-6	Sieć Obserwacyjno-Badawcza Wód Podziemnych PIG-PIB, ZGH Bolesław	Nie	T	304.37	34.91	29.10.2026	0.00
4	Chechło CH-2	Monitoring badawczy GZW PIG-PIB, ZGH Bolesław	Nie	T	310.20	2.20	02.11.2026	-0.07
5	Hutki UP-3	ZGH Bolesław	Nie	T	310.28	8.50	28.10.2026	-0.02
6	Jaroszowiec S-3	ujęcie huta szkła Saint Gobain	Nie	T	311.57	57.41	27.10.2026	-0.07
7	Klucze BK- 81	ZGH Bolesław	Nie	T	310.76	15.52	28.10.2026	-0.05
8	Klucze HKL-2	ZGH Bolesław	Nie	T	311.01	18.48	28.10.2026	-0.04
9	Klucze S-5	Monitoring badawczy GZW PIG-PIB, ujęcie Velvet Care	Tak	T	310.88	12.51	02.11.2026	-0.06
10	Klucze TP-5	ZGH Bolesław	Nie	T	310.89	15.87	03.11.2026	-0.05
11	Laski KG-3	ZGH Bolesław	Nie	T	309.68	0.76	02.11.2026	-0.05
12	Nadleśnictwo Olkusz	Monitoring badawczy GZW PIG-PIB, ZGH Bolesław	Tak	T	311.66	24.35	28.10.2026	-0.10
13	Olkusz PS-3	ZGH Bolesław	Nie	T	316.11	32.80	28.10.2026	-0.01
14	Olkusz Gorenice S-1	ujęcie wodociągowe	Nie	T	387.24	55.37	27.10.2026	-0.34
15	Olkusz KP-13	ZGH Bolesław	Nie	T	317.68	14.13	28.10.2026	0.11
16	Olkusz Witeradów N	ujęcie wodociągowe	Nie	T	330.93	40.03	27.10.2026	-0.24
17	Olkusz Witeradów S	ujęcie wodociągowe	Nie	T	330.80	40.40	27.10.2026	-0.24
18	Podlesie KP-45T	ZGH Bolesław	Nie	T	345.60	28.84	29.10.2026	-0.09
19	Ryczówek	ujęcie wodociągowe	Nie	T	335.49	28.18	27.10.2026	-0.41
20	Smoleń S-1	ujęcie wodociągowe	Nie	J	379.98	59.25	27.10.2026	-0.18
21	Szyb Chrobry	ZGH Bolesław	Nie	T	318.32	20.46	04.11.2026	0.09
22	Szyb Dąbrówka	ZGH Bolesław	Nie	T	310.39	6.29	04.11.2026	-0.09
23	Troks KP 16T	ZGH Bolesław	Nie	T	322.91	110.56	27.10.2026	-0.27
24	Wolbrom R1 Leśna	ujęcie wodociągowe	Nie	T	341.54	46.56	27.10.2026	0.43
25	Wolbrom R2	ujęcie wodociągowe	Tak	T	340.61	29.98	27.10.2026	0.32
26	Wolbrom R2 bis	ujęcie wodociągowe	Tak	T	340.63	30.45	27.10.2026	0.35
27	Złożeniec S-2	ujęcie wodociągowe	Tak	T	327.20	76.80	27.10.2026	-0.08
28	Bukowno UP-7	ZGH Bolesław	Nie	T	300.60	7.80	28.10.2026	0.02
29	Olkusz OLK-4	ZGH Bolesław	Nie	T	318.53	57.00	28.10.2026	-0.06

Ujęte piętro wodonośne: J – jurajski, T - triasowy

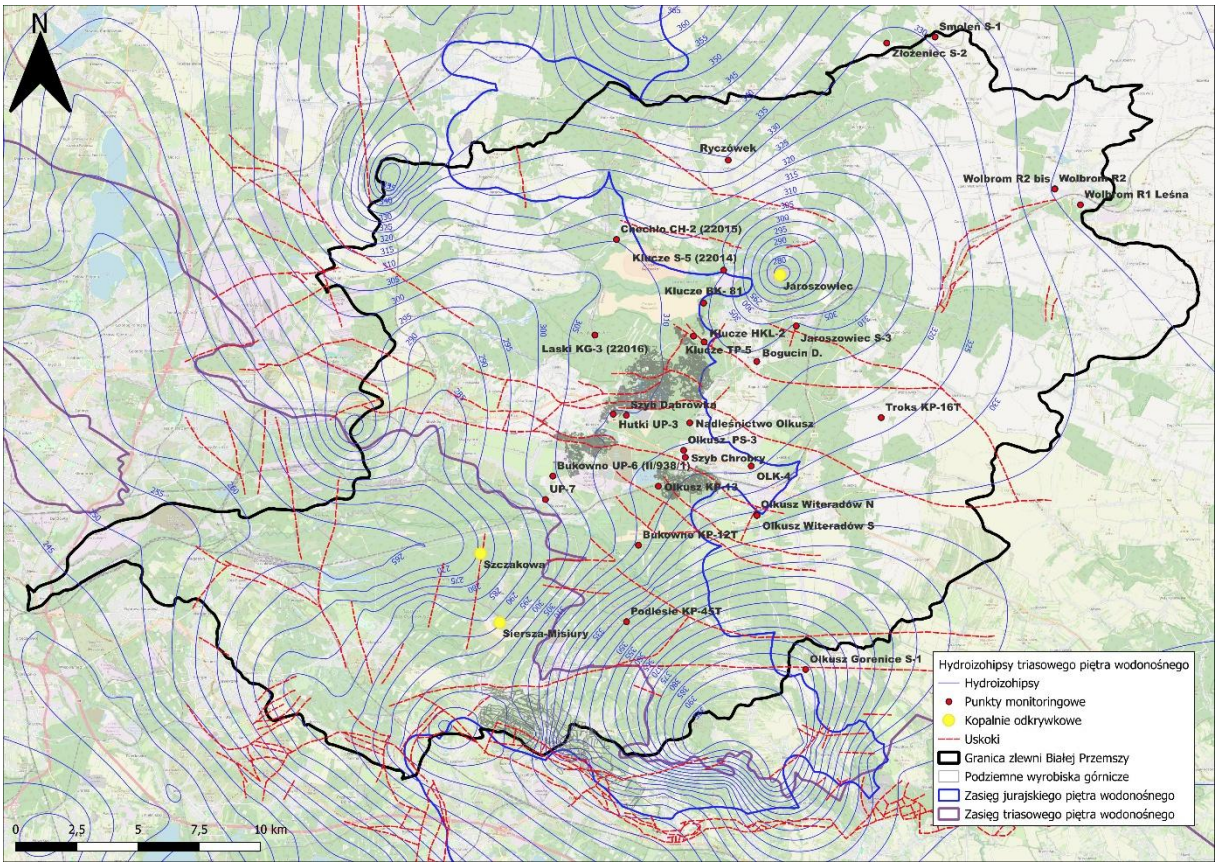
Analizę położenia zwierciadła wód podziemnych wykonano w oparciu o pomiary pozyskane w październiku i na początku listopada 2026 r. z 29 punktów obserwacyjnych. Pomiar zwierciadła wody w eksploatowanych studniach wodociągowych jest wykonywany w czasie postoju pomp, jednak może być obarczony pewnym błędem. Z tego względu pomiary te służą głównie do długoczasowej obserwacji położenia zwierciadła, nie są uwzględniane przy comiesięcznej analizie i interpretacji zmian. Uwzględniono również dane z kopalń odkrywkowych w Jaroszowcu oraz w Sierszy. W niniejszym raporcie analiza uwzględnia również dane pozyskane od ZGH „Bolesław" oraz z raportów SRK dotyczących działań prowadzonych w rejonie Trzebini. Wykonano ponowną interpretację położenia zwierciadła wód w triasowym piętrze wodonośnym, izolowanym lokalnie od powierzchni utworami kajpru. Na Ryc. 6 przedstawiono zasięg występowania poszczególnych pięter wodonośnych.



Ryc. 6. Zasięg występowania głównych pięter wodonośnych. (na podstawie MGP 1:500 000, PIG-PIB 2024 r., opracowanie własne PIG-PIB).

3.1 Triasowe piętro wodonośne

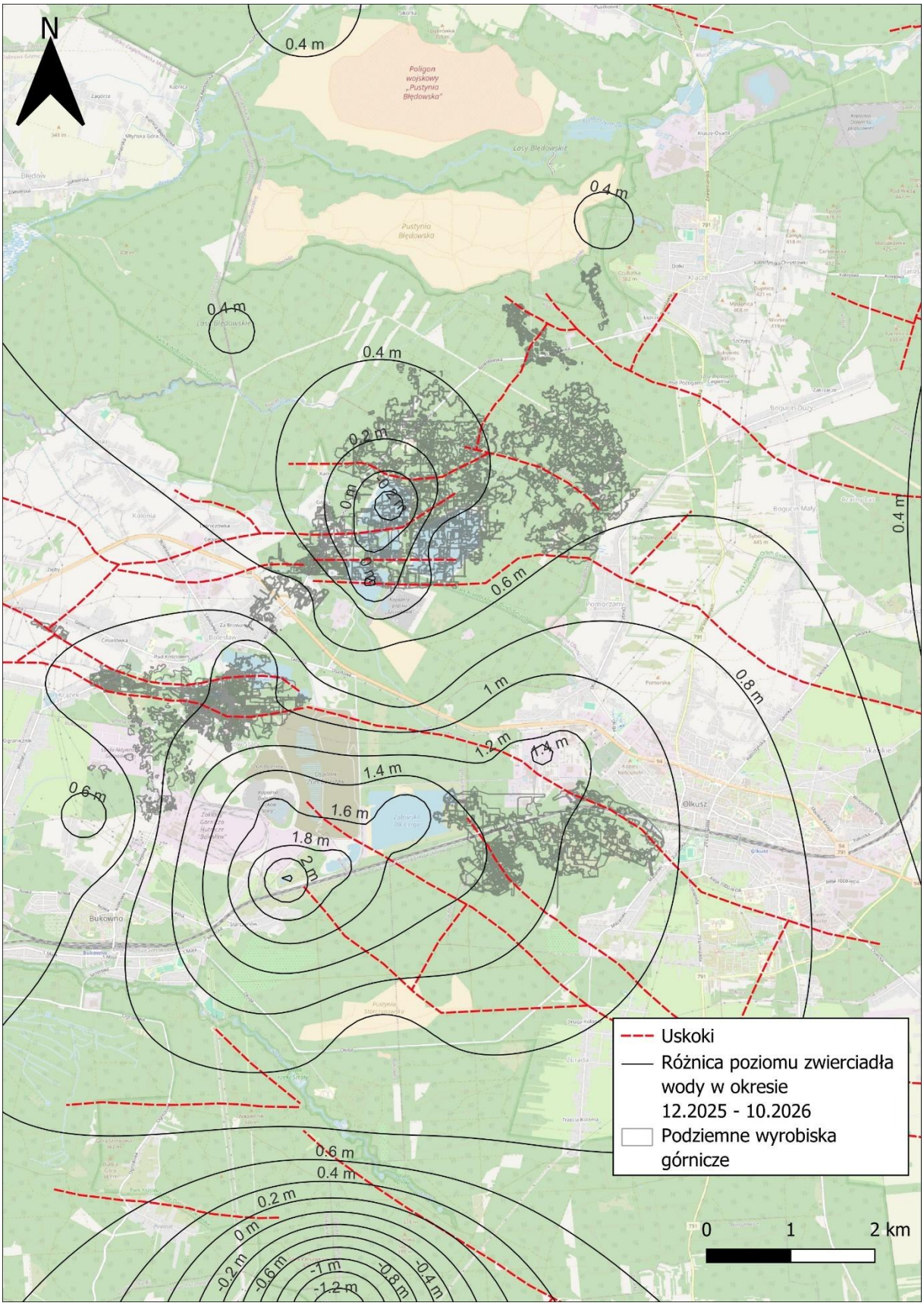
Położenie zwierciadła wód podziemnych przedstawiono na Ryc. 7. Hydroizohipsy wyznaczono na podstawie danych z punktów monitoringowych. Rozkład odzwierciedla ciśnienia w triasowym piętrze wodonośnym w zasięgu jego występowania. W południowo-zachodniej części obszaru, gdzie brak jest triasowego piętra wodonośnego, hydroizohipsy odzwierciadlają warunki w czwartorzędowym piętrze wodonośnym. Bazą drenażu jest obszar wyrobiska Szczakowa i Kanał Główny oraz rzeka Biała Przemsza w środkowym i dolnym jej odcinku (zachodnia część obszaru objętego badaniami). Rzędne zwierciadła wody w bazach drenażu wynoszą około 260 – 290 m n.p.m. Najwyższe ciśnienia występują na północ, wschód i południe od rejonu dawnej eksploatacji kopalni „Olkusz-Pomorzany”.



Ryc. 7. Rozkład rzędnych zwierciadła wód podziemnych w triasowym (w zasięgu występowania) i czwartorzędowym piętrze wodonośnym, stan na październik 2026 r (opracowanie własne PIG-PIB).

W centralnej części obszaru objętego działaniami górniczymi kopalni rud cynku i ołowiu, poziom zwierciadła wody w październiku br. utrzymywał się na wysokości około 310 m n.p.m. a regionalny przepływ wód następował z kierunku północnego, wschodniego i południowego w kierunku zachodnim.

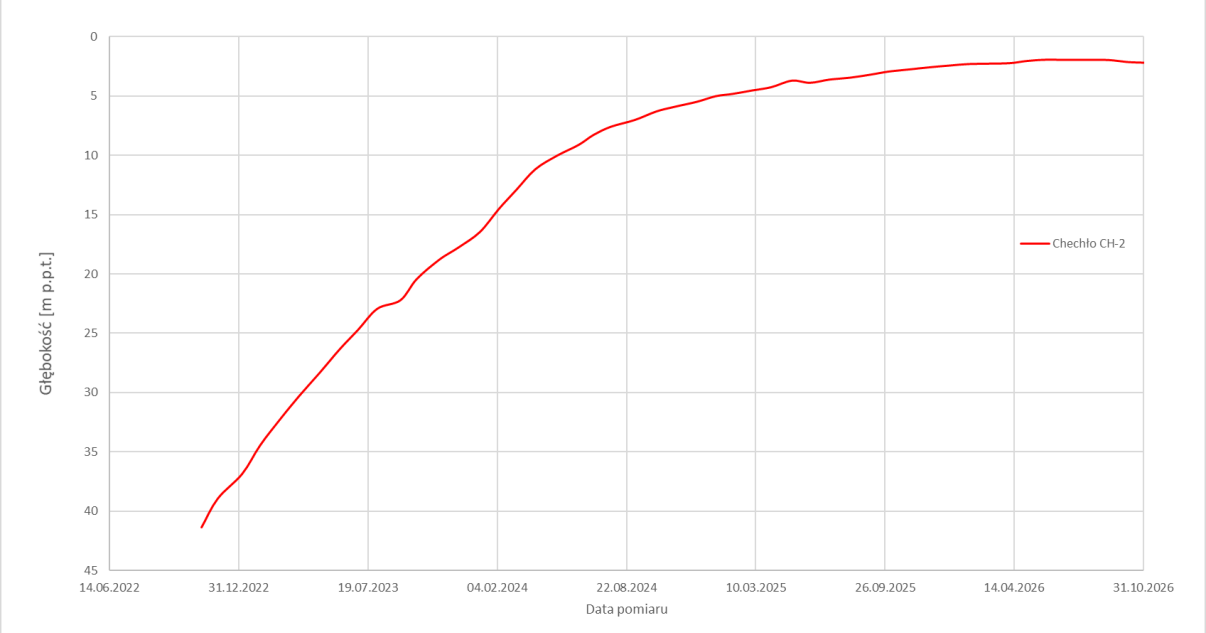
W celu konstrukcji mapy zmian położenia zwierciadła wód podziemnych piętra triasowego porównano wyniki pomiarów położenia zwierciadła wody wykonane w grudniu 2025 i październiku 2026 r. Na ich podstawie opracowano mapę zmian położenia zwierciadła wód podziemnych dla okresu grudzień 2025 - październik 2026 (11 miesięcy) – Ryc. 8.

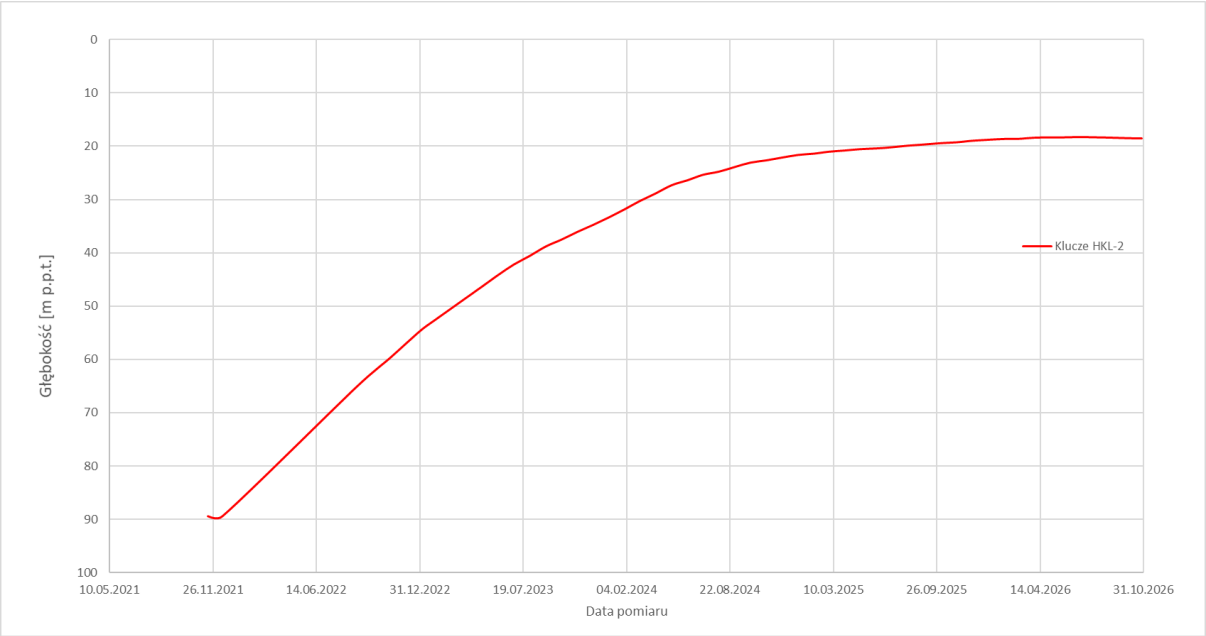


Ryc. 8. Zmiana położenia zwierciadła wody w piętrze triasowym w okresie od grudnia 2025 r. do października 2026 r (opracowanie własne PIG-PIB).

Zmiana położenia zwierciadła wody w punktach monitoringowych dla okresu grudzień 2025 - październik 2026 wynosiła od -2,20 m (Troks KP-16T) do +2,22 m (zalewisko ZZGK). W rejonie zalewisk w Hutkach rzędna wody znajduje się aktualnie poniżej poziomu z grudnia 2025 r. na co wpływ ma zrzut wód z zalewisk.

Otwory obserwacyjne zlokalizowane na północ i północny-zachód od centrum wydobycia rud cynku i ołowiu, tj. Chechło CH-2, Laski KG-3, Klucze TP-5, Klucze S-5, Klucze HKL-2, Klucze BK-81 wykazywały do lipca 2026 r. stały trend podnoszenia się zwierciadła wody, o podobnej do siebie dynamice wzrostu, a w następnym okresie niewielki spadek (Ryc. 9). W porównaniu do pomiarów z poprzedniego miesiąca zauważalne jest obniżanie się poziomu zwierciadła wody (od -0,04 m w otworze Klucze HKL-2 do -0,07 m w otworze Chechło CH-2).



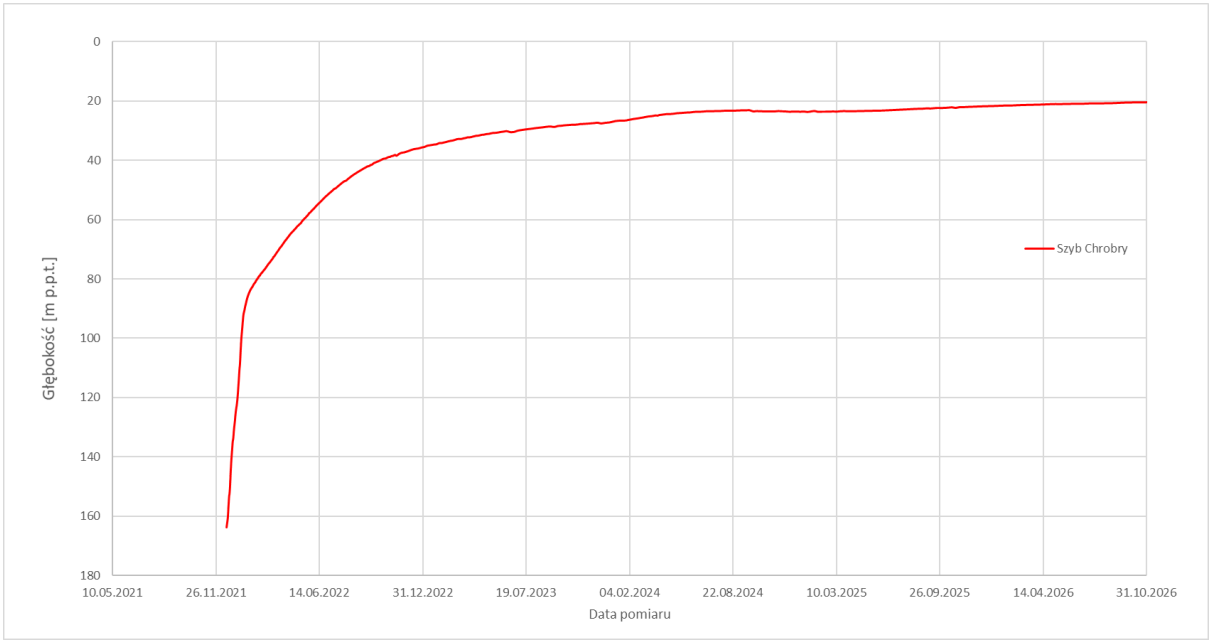


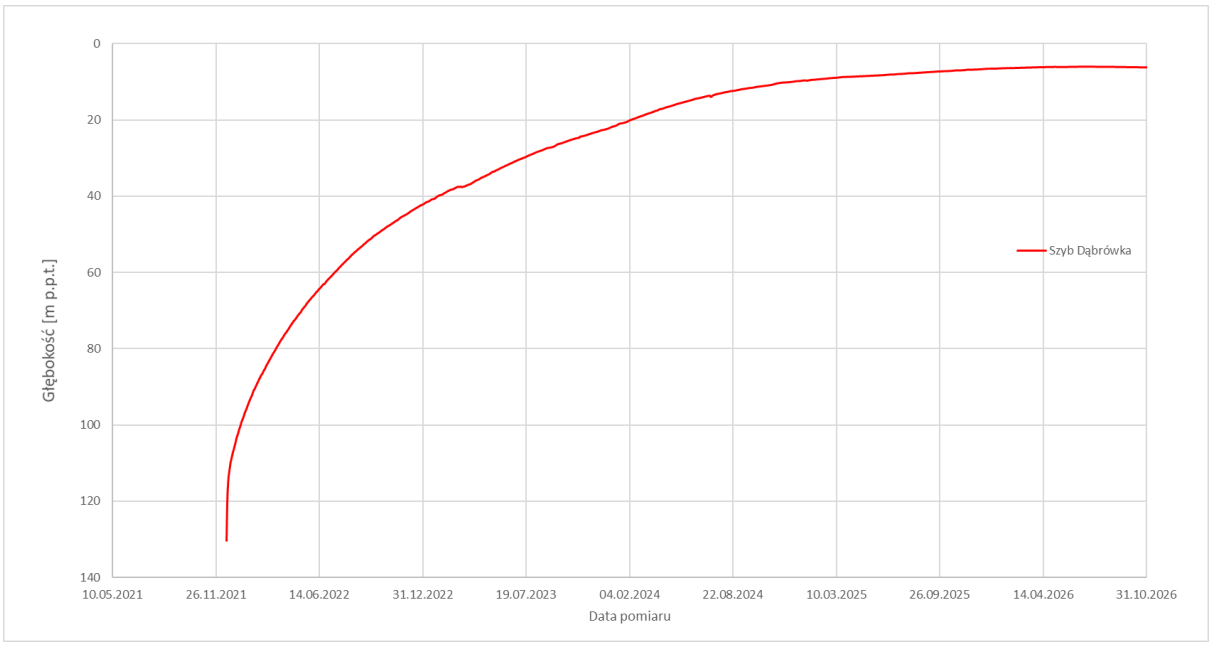
Ryc. 9. Wykresy zmian położenia zwierciadła wody w wybranych punktach monitoringowych (opracowanie własne PIG-PIB).

Miesięczna zmiana położenia zwierciadła wody w punktach monitoringowych zlokalizowanych w centralnej części obszaru objętego działaniami górniczymi kopalń rud cynku i ołowiu wykazała, że w otworach Olkusz KP-13 i Bukowno KP-12T nastąpiła dalsza odbudowa zwierciadła wód podziemnych. Wzrost poziomu zwierciadła w październiku 2026 r. w odniesieniu do stanu z poprzedniego miesiąca wynosił 0,04 m w otworze Bukowno KP-12T oraz 0,11 m w Olkusz KP-13. W otworach Olkusz PS-3 i Hutki UP-3 poziom wody nieznacznie się obniżył (o 0,01-0,02 m), natomiast w otworze Bukowno UP-6 nie zmienił się.

Na Ryc. 10 przedstawiono zmiany położenia zwierciadła wody w szybach ZGH „Bolesław": Dąbrówka i Chrobry. W szybie Dąbrówka miesięczna zmiana położenia zwierciadła wody w październiku 2026 r. wyniosła -0,09 m, a w szybie Chrobry odnotowano wzrost o 0,09 m.

Generalnie wzrost zwierciadła wody w związku z wypełnianiem się leja depresji po kopalniach cynku i ołowiu obserwowany jest obecnie w centralnej części obszaru działalności górniczej. Tempo wypełniania się leja depresji jest zróżnicowane i obserwuje się pewne jego spowolnienie w części punktów pomiarowych, a nawet obniżenie poziomu zwierciadła, co jest prawdopodobnie wynikiem podjętych działań związanych z pompowaniem wód oraz trwającej niżówki hydrogeologicznej.





Ryc. 10. Wykresy zmian położenia zwierciadła wody w szybie Dąbrówka oraz Chrobry (opracowanie własne PIG-PIB).

4 Jakość wód

4.1 Wyniki pomiarów terenowych

Charakterystyka składu chemicznego oraz jakości wód jest określana w cyklach kwartalnych. W październiku 2026 r. nie pobierano próbek wody do analiz laboratoryjnych, natomiast wykonano wskaźnikowe pomiary przewodności elektrolitycznej właściwej (PEW) w zalewiskach, ciekach powierzchniowych oraz wypływach wód podziemnych (16 punktów pomiarowych). Wyniki pomiarów przedstawiono w poniższej tabeli.

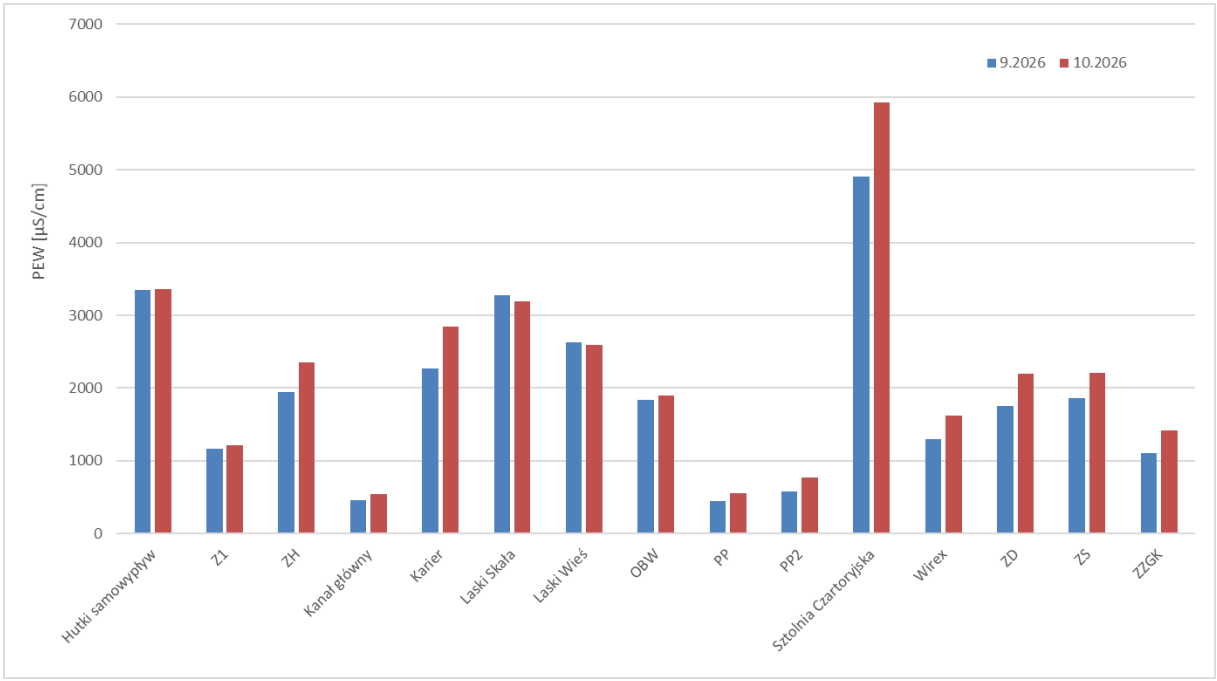
Tab. 4. Wyniki pomiarów przewodności elektrolitycznej właściwej (PEW) w wybranych punktach obserwacyjnych w rejonie olkuskim, stan na koniec października 2026 r. (lokalizacja przedstawiona na Ryc. 12)

Lp.	Zbiornik / Punkt pomiarowy	Data pomiaru	PEW [µS/cm]	Zmiana wartości PEW [µS/cm] w stosunku do poprzedniego raportu
1	Laski Skała	2.11.2026	3190	-90
2	Laski Wieś	2.11.2026	2588	-42
3	Zalewisko Hutki (ZH)	28.10.2026	2348	+398
4	Zalewisko Szczakowa (ZS)	28.10.2026	2208	+348
5	Zalewisko Dąbrówka (ZD)	28.10.2026	2202	+450
6	Pole Pomorzany (PP)	28.10.2026	556	+104
7	Pole Pomorzany 2 (PP2)	28.10.2026	776	+199
8	Zalewisko Obwodnica (OBW)	2.11.2026	1900	+64
9	Zalewisko Z1	2.11.2026	1214	+42
10	Wirex	29.10.2026	1620	+321
11	ZZGK	29.10.2026	1416	+313
12	Zalewisko Karier	28.10.2026	2838	+568
13	Kanał Główny	2.11.2026	539	+79
14	Sztolnia Czartoryjska	29.10.2026	5920	+1020
15	Zrzut ścieków Kanał zachodni	29.10.2026	7096	-954
16	Hutki samowypływ	2.11.2026	3360	+14

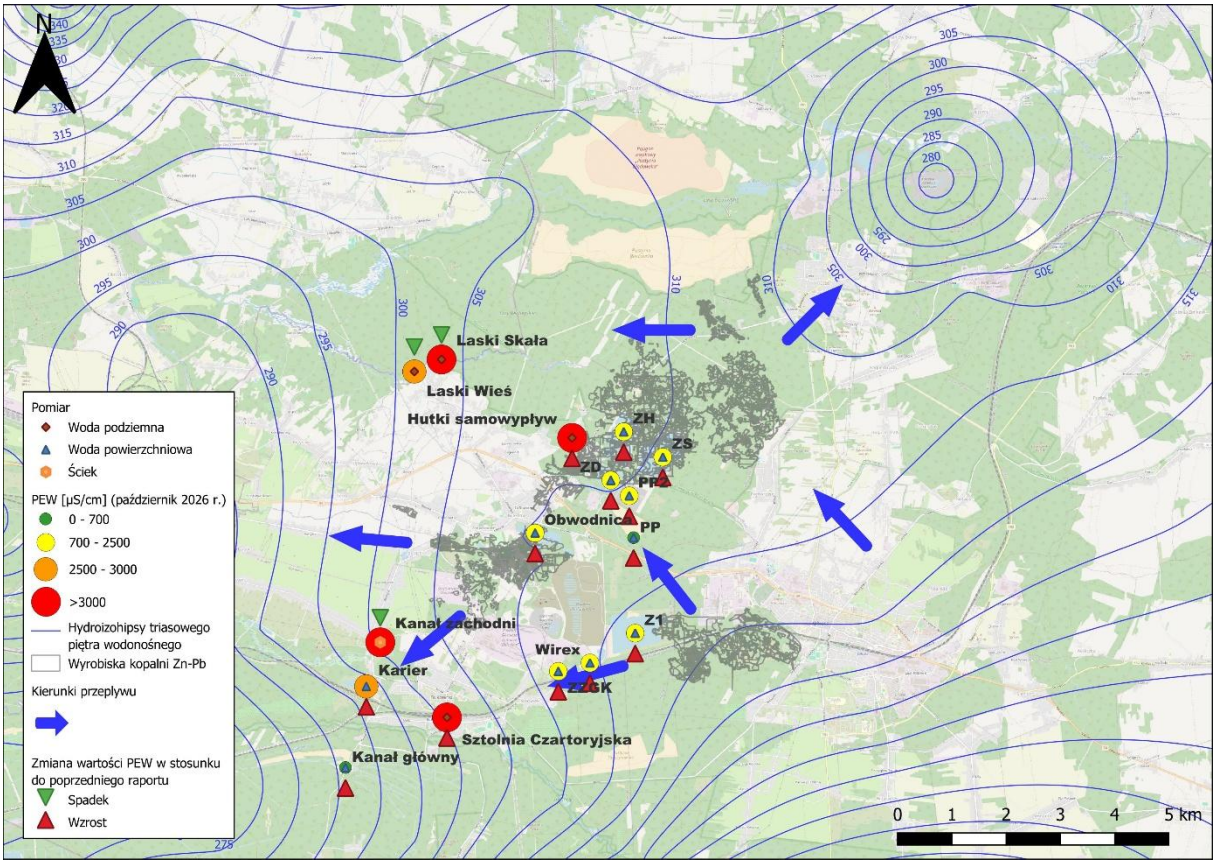
Przewodność elektrolityczna właściwa (PEW) wskazuje ilość substancji rozpuszczonych w wodzie, co czyni ją dobrym wskaźnikiem zanieczyszczenia wód. Rozkład przestrzenny

wskazuje na zależność wyższych wartości w punktach pomiarowych od położenia względem kierunku przepływu wód podziemnych przez wyrobiska kopalń Zn-Pb (Ryc. 12).

W październiku najwyższe wartości PEW odnotowano w samowypływie w Laskach – Laski Wieś (2588 µS/cm), samowypływie w Hutkach (3360 µS/cm), Sztolni Czartoryjskiej (5920 µS/cm), zalewisku Karier (2838 µS/cm) oraz w źródle w Laskach – Laski Skała (3190 µS/cm), co wskazuje na wysokie stężania substancji rozpuszczonych w wodzie w tych punktach (są to wody zanieczyszczone). Najwyższą wartość oraz jednocześnie najwyższy przyrost poziomu PEW odnotowano w Sztolni Czartoryskiej odprowadzającej wody z obszaru, w którym dokonywana była eksploatacja - 5920 µS/cm (+1020 µS/cm w okresie ostatniego miesiąca). Utlenione minerały siarczkowe, które budują wydobywane w przeszłości rudy cynku i ołowiu stanowią źródło zasilania wody podziemnej siarczanami oraz jonami cynku, ołowiu, żelaza, manganu i innych metali zawartych w polimineralnych złożach, co prowadzi do ogólnie podwyższonej mineralizacji wody. Duże przyrosty przewodności na poziomie 350-450 µS/cm zaobserwowano także w zalewiskach Hutki, Dąbrówka, Szczakowa zlokalizowanych w północnej części obszaru. W zalewiskach Wirex i ZZGK zlokalizowanych w południowej części obszaru wzrosty przewodności wynosiły ok. 300 µS/cm, w pozostałych lokalizacjach przyrosty EC były niższe. Natomiast, poziomy przewodności w miejscowości Laski nieznacznie spadły w stosunku do pomiarów sprzed miesiąca (o od – 24 do -90 µS/cm). Najniższe wartości przewodności aktualnie obserwuje się w Kanale Głównym (539 µS/cm) i w zalewiskach Pole Pomorzany (556 µS/cm) i Pole Pomorzany 2 (776 µS/cm). Porównanie wartości PEW z poszczególnych punktów pomiarowych we wrześniu i październiku 2026 r. przedstawiono na Rycinie 11.



Ryc. 11. Porównanie wartości PEW terenowego z września i października 2026 r. (opracowanie własne PIG-PIB)



Ryc. 12. Mapa rozkładu przewodności elektrolitycznej właściwej (PEW) w obszarze badań (październik 2026 r.) (opracowanie własne PIG-PIB).

5 Zagrożenia hydrogeologiczne

Równocześnie z realizacją zadań państwowej służby geologicznej Oddział Górnośląski PIG-PIB realizuje na bieżąco prace i badania w odpowiedzi na zgłoszenia dotyczące niebezpiecznych zjawisk, w szczególności związanych z podtopieniami terenu i infrastruktury. Działania te podejmowane są w trybie interwencyjnym i stanowią wsparcie dla organów administracji samorządowej oraz lokalnej społeczności.

5.1 Interwencje związane z podtopieniami

W okresie objętym niniejszym raportem (październik 2026 r.) oddział Górnośląski PIG-PIB nie otrzymał żadnych zgłoszeń dotyczących podtopień budynków mieszkalnych.

5.2 Samowypływy i zagrożenia infrastruktury

Na poniższej mapie (Ryc. 13) zostały oznaczone samowypływy wody podziemnej związane z dawnymi otworami złożowymi i odnawiającymi się źródłami. Oznaczone zostały również miejsca, w których zamknięte zostały przejazdy na drogach powiatowych (Obwodnica Bolesławia), a także lokalizacje nowych przepustów w biegu kanału Sztolni Ponikowskiej.



Ryc. 13. Lokalizacja samowypływów w otworach i źródłach oraz zamkniętych dróg i nowych przepustów (opracowanie własne PIG-PIB).

5.3 Wsparcie administracji samorządowej

PIG-PIB w sposób stały udziela wsparcia merytorycznego administracji samorządowej w związku z identyfikowanymi zagrożeniami środowiskowymi związanymi z procesem likwidacji kopalni „Olkusz-Pomorzany".

Interwencyjne pompowanie wody podziemnej prowadzonego przez ZGK Bolesław.

Pompowanie wód podziemnych ze skrzyń retencyjnych w dalszym ciągu odbywa się na terenie ZGK Bolesław przy ul. Wyzwolenia. Prowadzone jest w celu obniżenia zwierciadła wód gruntowych i ochrony okolicznych budynków mieszkalnych oraz obiektów gospodarczych. Działania realizowane są na podstawie rekomendacji Zespołu Międzyresortowego oraz zgody Wojewody Małopolskiego. Pompowanie w znaczący sposób wpływa na poziom wód podziemnych w centrum Bolesławia, które od momentu rozpoczęcia odwadniania wyraźnie się obniżyło, co istotnie wpływa na bezpieczeństwo fundamentów otaczających budynków.

6 Zagrożenia związane z zapadliskami

Inwentaryzacja zapadlisk realizowana jest jako zadanie państwowej służby geologicznej od 2023 r., a obecnie w ramach zadania pn.: *Zapadliska – etap I – studium wykonalności*. Konieczność zinwentaryzowania zapadlisk wynika z potrzeby opracowania strategii redukcji ryzyka związanego z występowaniem zapadlisk w Polsce. Potrzebę pilnego stworzenia odpowiedniej strategii przeciwdziałaniu skutkom zapadlisk w Polsce unaoczniła sytuacja w Trzebini oraz w obszarze olkuskim.

PIG-PIB podjął się zadań w zakresie swoich kompetencji i przeprowadził prace, których celem było rozpoznanie zapadlisk w rejonie Trzebini, które pozwoliły na zinwentaryzowanie 527 zapadlisk[10] . W ramach badań przeprowadzono wówczas szczegółową analizę danych archiwalnych (m.in. map górniczych, map geologicznych, profili otworów wiertniczych, zdjęć lotniczych, wcześniejszych inwentaryzacji zapadlisk), satelitarnej interferometrii radarowej i lotniczego skaningu laserowego (Airborne Laser Scanning, ALS) z lat 2011–2022. W 2023 r. wykonano również skanowanie laserowe z pułapu bezzałogowego statku powietrznego oraz prace kartograficzne. Stwierdzono, że duża część zapadlisk powstałych po 2019 roku (również

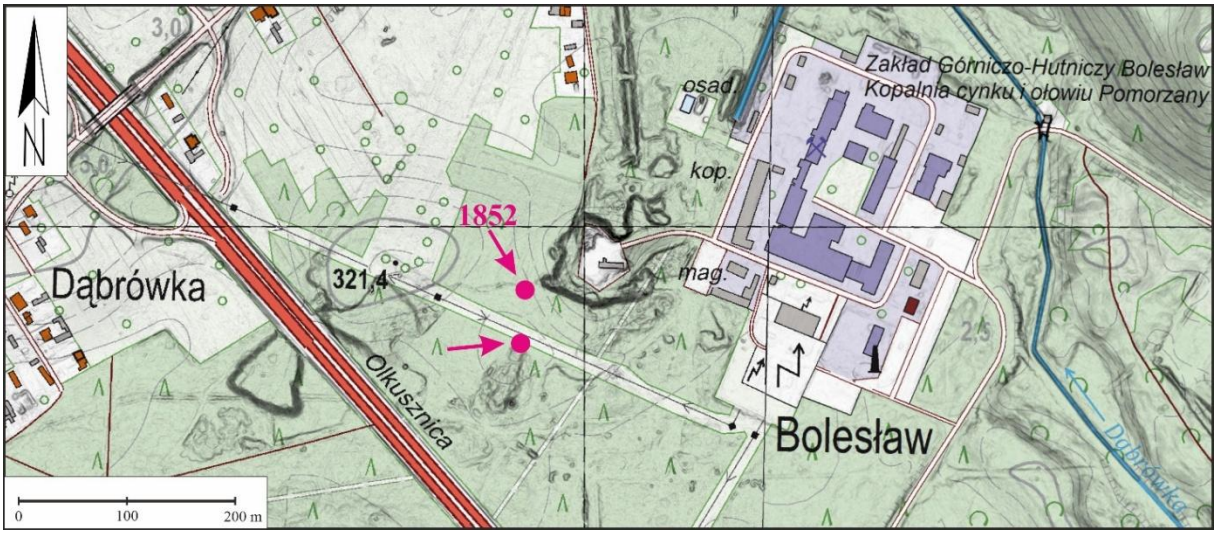
[10] Wojciechowski i in., 2023 - Raport trzeci z prac analitycznych o deformacjach terenu w Trzebini. PIG-PIB, Warszawa.

zapadlisko na cmentarzu) jest tak naprawdę uaktywnieniem starych zasypanych w przeszłości lejów. Na podstawie prowadzonych badań monitoringowych w latach 2023, 2024 i 2025 stwierdzono łącznie 10 nowych zapadlisk, co zwiększyło ich liczbę do 537.

Dla obszaru olkuskiego został sporządzony raport z podobną metodyką jaką zastosowano na obszarze Trzebini i zinwentaryzowano 1260 zapadlisk[11]. Zdecydowana większość lejów zapadliskowych powstała na obszarach dawnej lub współczesnej eksploatacji górniczej w wyniku zapadania się stropu dawnych lub współczesnych wyrobisk i sięgnięcia strefy zawału do powierzchni terenu. Na podstawie prowadzonych badań monitoringowych w roku 2025 stwierdzono łącznie dziewięć nowych zapadlisk, co zwiększyło ich liczbę do 1269.

W ramach zadania pn.: *Zapadliska – etap I – studium wykonalności* prowadzone są na obszarze Trzebini oraz w rejonie olkuskim prace interwencyjne w przypadku stwierdzenia nowego zapadliska.

W październiku 2026 roku w rejonie olkuskim PIG-PIB otrzymał zgłoszenie od Wójta Gminy Bolesław z dnia 16.10.2026 r. dotyczące powstania dwóch zapadlisk przy ulicy Kluczewskiej w Bolesławiu (Ryc. 14).



Ryc. 14. Lokalizacja zapadlisk na podkładzie mapy topograficznej oraz numerycznego modelu terenu z 2025 r.

Zapadlisko w północnej części zostało zinwentaryzowane dnia 18.12.2023 r. i posiada numer archiwalny 1852 (https://geologia.pgi.gov.pl/mapy/?page=Zapadliska). W trakcie rejestracji posiadało średnicę 4 m oraz głębokość 0,6 m. Zapadlisko to ulega ciągłej propagacji,

[11] Kos i in., 2025 - Raport z prac analitycznych o deformacjach terenu dla rejonu oddziaływania eksploatacji rud cynku i ołowiu w rejonie olkuskim. PIG-PIB, Warszawa.

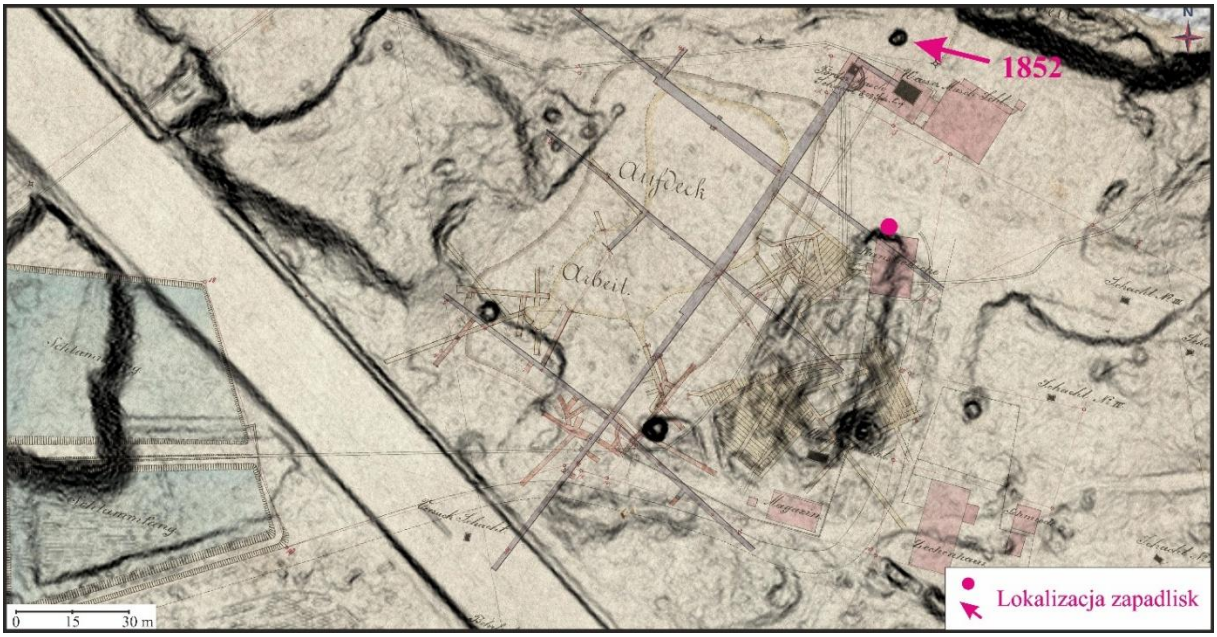
które doprowadzają do jego pogłębiania i zwiększania zasięgu. Aktualnie posiada ono średnicę około 4,5 m oraz głębokość 1 m (Fot. 5).



Fot. 5. Zapadlisko o numerze 1852

Drugie zapadlisko nie było wcześniej inwentaryzowane i nie posiada numeru identyfikacyjnego. Powstało w miejscu, gdzie wybrano fragment nasypu. Jest to zapadlisko o średnicy około 1,5 m oraz głębokości 1 m, którego lej zapadliskowy rozwinął się w utworach nasypowych.

Zinwentaryzowane zapadliska znajdują się na obszarze, gdzie w przeszłości funkcjonowała niewielka kopalnia „Dąbrówka". Na podstawie analizy historycznej mapy tej kopalni można stwierdzić, iż pierwsze zapadlisko (1852) uaktywniło się na północ od szybu odwodnieniowego w miejscu prawdopodobnie niezinwentaryzowanych chodników lub kanału, natomiast drugie powstało nad chodnikiem biegnącym na południowy – wschód od chodnika głównego (Ryc. 15).



Ryc. 15. Mapa archiwalnej eksploatacji na podkładzie numerycznego modelu terenu z 2026 r.

W rejonie Trzebini w październiku 2026 roku PIG-PIB nie otrzymał zgłoszeń o powstaniu nowych zapadlisk w tym obszarze.

W związku z przeprowadzonymi interwencjami od początku 2026 roku wg stanu na dzień 30.09.2026 r. na obszarze Trzebini zinwentaryzowano **540** zapadlisk, a w rejonie olkuskim **1274**.

7 Działania związane z rozszerzeniem zakresu działań w rejonie olkuskim

W ramach rozszerzenia sieci monitoringowej w rejonie objętym raportowaniem PIG-PIB w październiku zrealizował następujące działania:

- uzyskano zgodę od ZGH „Bolesław" S.A. na pobór próbek wód podziemnych z szybów Chrobry i Dąbrówka przy użyciu próbników HydraSleeve™[12],

- Ministerstwo Klimatu i Środowiska wyraziło pozytywną opinię dotyczącą wniosku Studium identyfikacji zagrożeń wodnych i przeciwdziałania katastrofie ekologicznej na obszarze Trzebini i w rejonie olkuskim.

8 Podsumowanie

Niniejszy raport przedstawia sytuację hydrologiczną i hydrogeologiczną w rejonie olkuskim oraz informację na temat zapadlisk w rejonie Trzebini, odnotowaną w październiku 2026 r. W raporcie przedstawiono wyniki pomiarów położenia zwierciadła wody w punktach monitoringu wód podziemnych wraz z analizą zmian w poszczególnych punktach, dane dotyczące przepływu wód w rzece Białej Przemszy, wyniki pomiaru opadów atmosferycznych odnotowane na stacji pomiarowej IMGW w miejscowości Troks oraz zmiany położenia zwierciadła wody w powstałych zalewiskach. Największe wzniosy zwierciadła wód podziemnych, związane z wypełnianiem się leja depresji, odnotowano w punkcie pomiarowym Olkusz KP-13 (0,11 m).

Badania jakości wody w omawianym okresie dotyczyły wskaźnikowych pomiarów przewodności elektrolitycznej właściwej (PEW). Terenowe pomiary PEW potwierdziły utrzymujące się wysokie wartości w punktach badawczych Sztolnia Czartoryjska, Laski Skała oraz samowypływ w Hutkach i w Laskach. Odnotowano wyraźny wzrost wartości PEW w części punktów pomiarowych. Wysokie wartości PEW wskazują na zanieczyszczenie wód substancjami rozpuszczonymi.

Obszarami najbardziej zagrożonymi podtopieniami pozostają rejony Lasek, Bolesławia oraz Bukowna. W zalewiskach zlokalizowanych w części południowej obserwowany jest stały trend przyrostu poziomu wody, w tym największa zmiana w okresie ostatniego miesiąca

[12] Pismo DWY/DG/15958/158/2026 z dnia 27.10.2026 r.

została odnotowana w zalewisku Karier (+0,17 m). Przez okres ostatniego miesiąca w zalewiskach Hutki (ZH) i Hutki 1 (ZH1) zanotowano niewielki wzrost poziomu wody (+0,08 m). Na skutek zrzutu wód do kanału Sztolni Ponikowskiej z zalewisk zlokalizowanych w rejonie Hutki poziom wód w zalewiskach Dąbrówka (ZD), Szczakowa (ZS), Pole Pomorzany (PP), Pole Pomorzany 2 (PP2) zmienia się nieznacznie. Działania te zwiększają bezpieczeństwo dla grobli otaczających zalewiska oraz ograniczają ryzyko podtopień w bezpośrednim sąsiedztwie zbiorników, jednak nie wpływają na ilość stale dopływających wód podziemnych.

W październiku 2026 roku w rejonie olkuskim PIG-PIB otrzymał zgłoszenie od Wójta Gminy Bolesław z dnia 16.10.2026 r. dotyczące powstania dwóch zapadlisk przy ulicy Kluczewskiej w Bolesławiu. Jedno z nich zostało zinwentaryzowane w 2023 r. i ulega ciągłej propagacji, drugie nie było wcześniej inwentaryzowane. Oba zapadliska znajdują się na obszarze historycznej eksploatacji i związane są z płytkimi podziemnymi wyrobiskami. W raportowanym okresie nie odnotowano żadnych zgłoszeń dotyczących zapadlisk w rejonie Trzebini.

Sytuacja w rejonie Bolesławia, Bukowna, Hutek oraz Lasek (Dąbrowa Górnicza) ma charakter poważny i wymaga podjęcia pilnych, skoordynowanych działań zaradczych.